

OBIEKT : BUDYNEK LABORATORIUM

**TEMAT : OPINIA GEOTECHNICZNA WRAZ Z DOKUMENTACJĄ
BADAŃ PODŁOŻA GRUNTOWEGO BUDYNKU
LABORATORIUM AERODYNAMIKI ŚRODOWISKOWEJ
WYDZIAŁU INŻYNIERII LĄDOWEJ
POLITECHNIKI KRAKOWSKIEJ,
PROJEKTOWANEGO NA DZIAŁCE NR 21/257
PRZY AL. JANA PAWŁA II nr 37 W KRAKOWIE**

**ZLECENIODAWCA: GPVT PRACOWNIA ARCHITEKTONICZNA S.C.
UL. PAMIĄTKOWA 2/37
61-512 POZNAŃ**

**AUTORZY: mgr KRZYSZTOF NAZDROWICZ
upr. nr V – 1186, VII – 1621
mgr AGNIESZKA SZTENDEL-SZCZEŚNIAK**

SPIS TREŚCI :

I. CZEŚĆ OPISOWA

1. Wstęp.	-	str. 3
2. Zakres wykonanych badań.	-	str. 3
3. Lokalizacja i morfologia terenu badań	-	str. 3
4. Charakterystyka warunków gruntowo - wodnych		
4.1 Budowa geologiczna	-	str. 4
4.2 Warunki hydrogeologiczne	-	str. 4
4.3 Charakterystyka warunków geotechnicznych	-	str. 4
5. Wnioski i zalecenia.	-	str. 6
6. Tabela charakterystycznych wartości parametrów geotechnicznych	-	Tabela 1

II. CZEŚĆ GRAFICZNA

1. Mapa dokumentacyjna w skali 1: 500	-	Zał. 1
2. Przekroje geotechniczne w skali 1:500 / 1:100	-	Zał. 2.1-2.5
3. Karty otworów geotechnicznych w skali 1:100	-	Zał. 3.1-3.5
4. Wyniki analiz laboratoryjnych	-	Zał. 4.1-4.3

Objaśnienia symboli używanych na przekrojach
geotechnicznych i w profilach otworów

1. WSTEP

Celem niniejszego opracowania jest przedstawienie w sposób opisowy i graficzny warunków gruntowo – wodnych oraz parametrów geotechnicznych gruntów występujących w podłożu projektowanego budynku laboratorium Aerodynamiki Środowiskowej, Wydziału Inżynierii Lądowej Politechniki Krakowskiej, projektowanego na działce nr 21/257 przy al. Jana Pawła II 37 w Krakowie.

Dokumentację opracowano na zlecenie Firmy GPVT Pracownia Architektoniczna s.c. z siedzibą przy ul. Pamiątkowej 2/37 w Poznaniu.

Przy opracowaniu niniejszej dokumentacji wykorzystano poniższe dane i materiały:

- mapę sytuacyjno – wysokościową w skali 1:500
- wyniki prac i badań polowych i laboratoryjnych próbek gruntów,
- Rozporządzenie Ministra Transportu, Budownictwa i Gospodarki Morskiej z dn. 25.04.2012 r. w sprawie ustalania geotechnicznych warunków posadawiania obiektów budowlanych.
- PN – B – 02479:1998 : Geotechnika. Dokumentowanie geotechniczne. Zasady ogólne.
- PN – 86/B – 02480 : Grunty budowlane - określenia, symbole, podział i opis gruntów.
- PN – 81/B – 04452 : Grunty budowlane. Badania polowe.
- PN – 88/B – 04481 : Grunty budowlane - badania próbek gruntu.
- PN – 81/B – 03020 : Grunty budowlane. Posadowienie bezpośrednie budowli. Obliczenia statyczne i projektowanie.
- literaturę geologiczną.
- wytyczne i informacje od Zleceniodawcy.

2. ZAKRES WYKONANYCH BADAŃ

Prace terenowe wykonane w dniu 27.07.2017 r. objęły wytyczenie i wykonanie w miejscach uzgodnionych ze Zleceniodawcą 5 otworów sondażowych o głębokościach 10,0 m.

Lokalizację otworów wniesiono na dostarczoną przez Zleceniodawcę mapę sytuacyjno-wysokościową w skali 1:500, która posłużyła do utworzenia załącznik do niniejszego opracowania (Zał. 1). Rzędne wysokościowe otworów obliczono drogą interpolacji między punktami wysokościowymi na podstawie w/w mapy sytuacyjno – wysokościowej.

Wiercenia wykonane zostały przy użyciu wiertnicy mechanicznej H25 SG świdrami spiralnymi ϕ 110 mm.

W trakcie prac wiertniczych pobierane były próby gruntu o naturalnym uziarnieniu (NU) z każdej wyróżniającej się litologicznie warstwy, nie rzadziej jednak niż co 0,5 m. Pobrane próby poddane zostały badaniom makroskopowym, zgodnie z wytycznymi normy PN-88/B-04481.

Otwory badawcze zlikwidowane zostały wydobywym urobkiem z zachowaniem profilu geologicznego w poszczególnych otworach.

Wyniki wierceń, badań terenowych i laboratoryjnych dały podstawę do wykonania części opisowej i graficznej opracowania oraz pozwoliły określić parametry geotechniczne gruntów stanowiących podłoże projektowanego budynku.

3. LOKALIZACJA I MORFOLOGIA TERENU BADAŃ

Zgodnie z dziesiętnym podziałem regionalnym Polski wg Kondrackiego obszar badań znajduje się na terenie mezoregionu Pomost Krakowski, który należy do makroregionu Brama Krakowska, prowincji Karpat Zachodnich z Podkarpaciem Zachodnim i Północnym stanowiący część Regionu Karpackiego. Mezoregion ten graniczy od zachodu i północy z Obniżeniem

Cholerzyńskim, od północnego wschodu z Płaskowyżem Proszowickim, od wschodu z makroregionem Nizina Nadwiślańska, a od południa z Rowem Skawińskim. Region jest systemem wzgórz zbudowanym z wapieni jurajskich, a w poprzek mezoregionu przepływa rzeka Wisła.

Wysokości bezwzględne na badanym obszarze sięgają od 211,90 do 212,40 m n.p.m.

Pod względem administracyjnym teren badań położony jest w Krakowie, w dzielnicy Grzegórzki.

4. CHARAKTERYSTYKA WARUNKÓW GRUNTOWO - WODNYCH

4.1 BUDOWA GEOLOGICZNA

Objęty badaniami obszar w strefie głębokości rozpoznanej wierceniami, tj. maks. 10,0 m p.p.t., zbudowany jest z utworów plejstocénskich (*Qp*), reprezentowanych przez:

- utwory **polodowcowe** (*glacjalne - Qpg*) - gliny piaszczyste z przewarstwieniami glin pylastych i piasków (**warstwa IIIc**) oraz piaski gliniaste na pograniczu glin piaszczystych (**warstwy serii II**).
- osady **wodnolodowcowe** (*fluwioglacjalne - Qpfg*) – piaski pylaste, piaski drobne oraz piaski średnioziarniste z licznymi domieszkami lub przewarstwieniami innych runtów (**warstwy serii I**).
- osady **lodowcowo-zastoiskowe** (*glacilimniczne - Qpgl*) – pyły piaszczyste oraz pyły piaszczyste na pograniczu piasków pylastych z niewielką domieszką piasków drobnych (**warstwa Vb**) oraz glin pylastych przewarstwione piaskami i glin pylastych zwięzłych (**warstwy serii VI**)

Warstwę przypowierzchniową na badanym obszarze stanowią nasypy antropogeniczne: niekontrolowane - niebudowlane (**warstwa XI**) oraz budowlane (**warstwa XII**).

4.2 WARUNKI HYDROGEOLOGICZNE

W 5 wykonanych otworach wiertniczych, do głębokości maks. 10,0 m p.p.t., nie stwierdzono występowania wody gruntowej. W otworze OW04 grunty piaszczyste, występujące bezpośrednio pod gruntami spoistymi poniżej głębokości ok. 4,7 m p.p.t. były silnie wilgotne, miejscami na granicy mokrych, jednak wraz ze wzrostem głębokości ich wilgotność malała. Współczynniki wodoprzepuszczalności *k* dla piasków pylastych pobranych z otworu OW02 kształtuje się na poziomie $k = 1,94$ m/dobę (wg. USBSC). Współczynnik wodoprzepuszczalności dla piasków średnioziarnistych należy szacować na poziomie 12-16 m/dobę.

4.3 CHARAKTERYSTYKA WARUNKÓW GEOTECHNICZNYCH

Podłoże gruntowe występujące poniżej nasypów antropogenicznych, podzielono na warstwy geotechniczne. Jako podstawę podziału przyjęto w pierwszej kolejności genezę i stratygrafię utworów, wydzielając następnie w obrębie danej grupy gruntów warstwy różniące się litologią i wartościami wiodących cech geotechnicznych.

Wartości charakterystyczne wiodących parametrów geotechnicznych dla wydzielonych warstw określono na podstawie badań laboratoryjnych, polowych i analizy makroskopowej gruntów.

W przypadku gruntów spoistych jako cechę wiodącą przyjęto wartość charakterystyczną stopnia plastyczności $I_L^{(n)}$, a w przypadku gruntów niespoistych – wartość charakterystyczną stopnia zagęszczenia $I_D^{(n)}$.

Krótką charakterystyką wydzielonych warstw przedstawia się następująco:

warstwy serii I: wykształcone w postaci wodnolodowcowych piasków pylastych i piasków średni- i drobnoziarnistych. Grunty tej warstwy zostały nawiercone we wszystkich otworach wiertniczych. Grunty tej warstwy są mało wilgotne i wilgotne. Wszystkie grunty tej serii są nośne. Podział na warstwy geotechniczne wykonany na podstawie różnic w uziarnieniu i zagęszczeniu przedstawiono poniżej:

- **Ia** - Pd+Ps; Pπ(+Ps)/Pg; Pπ+Pd; Pπ(+Pd); Ps(+I/Π)
- w stanie średnio zagęszczonym $I_D = 0,50$
- **Ib** - Ps; Ps/Pd; Ps(+Π); Ps+Pd; Ps//Gπ; Ps+Π/Pπ; Ps//Pg
- w stanie średnio zagęszczonym $I_D = 0,50$
- **Ig** - Pπ+Ps//Gp; Pπ(+Ps) - w stanie średnio zagęszczonym $I_D = 0,60$
- **Ih** - Ps; Ps/Pd - w stanie średnio zagęszczonym $I_D = 0,60$

Wszystkie warstwy serii I są nośne. Grunty tej serii dominują w podłożu projektowanego budynku.

warstwy serii II: wykształcone w postaci lodowcowych piasków gliniastych na pograniczu glin piaszczystych. Grunty tej warstwy zostały nawiercone w formie soczewek otworach OW03 oraz OW04. Grunty tej warstwy są mało wilgotne do wilgotnych. Podział na warstwy geotechniczne wykonany na podstawie różnic stopnia plastyczności przedstawiono poniżej:

- **IIb** - Pg/Gp - w stanie twardoplastycznym $I_L = 0,20$
- **IIc** - Pg/Gp - w stanie plastycznym $I_L = 0,30$

Warstwa IIb w stanie nienaruszonym jest nośna, warstwę IIc zakwalifikowano jako słabonośną - rozpoznana została ona w otworze OW04 w strefie głębokości 3,1-4,3 m p.p.t.

warstwa IIc: zakwalifikowano do niej lodowcowe gliny piaszczyste, miejscami z przewarstwieniami glin pylastych oraz piasków. Grunty te są wilgotne, w stanie plastycznym, o wartości charakterystycznej stopnia plastyczności $I_L^{(n)} = 0,30$. Jest to warstwa słabonośna. Wystąpiła w otworach: OW01 w strefie głębokości 3,2-4,5 m p.p.t., w OW04 w strefie głębokości 4,3-4,7 m p.p.t i w OW05 - na głębokości 3,0-3,9 m p.p.t. i 7,6-8,0 m p.p.t.,

warstwa Vb: tworzą ją zastoiskowe pyły piaszczyste oraz pyły piaszczyste na pograniczu piasków pylastych z niewielką domieszką piasków drobnych. Grunty te są mało wilgotne, w stanie twardoplastycznym, o wartości charakterystycznej stopnia plastyczności $I_L^{(n)} = 0,20$. W stanie nienaruszonym jest to warstwa nośna. Wystąpiła lokalnie w otworach OW02 i OW04.

warstwy serii VI: wykształcone w postaci lodowcowo-zastoiskowych glin pylastych i glin pylastych. Grunty tej warstwy zostały nawiercone we wszystkich badanych

otworach, za wyjątkiem otworu OW04. Grunty tej warstwy są mało wilgotne do wilgotnych. Podział na warstwy geotechniczne wykonany na podstawie różnic stopnia plastyczności przedstawiono poniżej:

- **VIb** - $G\pi$ – w stanie twardoplastycznym $I_L = 0,20$
- **VIc1** - $G\pi//P$ – w stanie plastycznym $I_L = 0,30$
- **VIc2** - $G\pi, G\pi/I$ – w stanie plastycznym $I_L = 0,40$

Grunty warstwy VIb nośne pod warunkiem nienaruszenia ich struktury oraz przy uniknięciu zawilgocenia. Grunty w stanie plastycznym - warstwy VIc1 i VIc2 są słabonośne. Wystąpiły one w otworach: OW03 w strefach głębokości 2,9-3,5 i 7,0-8,0 m p.p.t., w OW02 na głębokościach 5,8-6,2 i 9,3-9,6 m p.p.t., w OW05 - na głębokości 5,6-7,1 m p.p.t.,

warstwa XI: zaliczono do niej nasypy niebudowlane, niekontrolowane, zalegające maksymalnie do głębokości 1,0-1,2 m p.p.t. Zbudowane są z mieszaniny piasku, humusu, namulów, okruchów betonu, tłucznia, okruchów gruzu i lokalnie glin.
Z uwagi na różnorodność i przypadkowość składu a tym samym zmienność parametrów wytrzymałościowych oraz domieszkę gruntów organicznych – nasypy te należy klasyfikować jako słabonośne.

warstwa XII: zaliczono do niej nasypy budowlane, zalegające maksymalnie do głębokości 0,6-0,7 m p.p.t. Zbudowane są głównie z piasku i tłucznia. Jest to warstwa nośna.

Wartości charakterystyczne parametrów geotechnicznych dla poszczególnych warstw geotechnicznych podano w Tabeli nr 1.

Szczegółowy układ opisanych warstw przedstawiono na przekrojach geotechnicznych – Zał. 2.1-2.5.

5. **WNIOSKI I ZALECENIA**

1. W podłożu gruntowym budynku laboratorium Aerodynamiki Środowiskowej, Wydziału Inżynierii Lądowej Politechniki Krakowskiej, projektowanym przy al. Jana Pawła II nr 37 w Krakowie, poniżej przypowierzchniowej warstwy nasypów antropogenicznych (**warstwy XI i XII**), zalegają mineralne grunty rodzime, nie skaliste, głównie niespoiste - piaski wodnolodowcowe (**warstwy serii I**) oraz soczewki gruntów spoistych - polodowcowych piasków gliniastych (warstwy serii II) i glin piaszczystych (warstwa IIIb) oraz lodowo-zastoiskowych pyłów piaszczystych (**warstwa Vb**), oraz gliny pylastych i glin pylastych związanych (**warstwy serii VI**).
2. Rozpoznane w podłożu grunty mineralne rodzime niespoiste oraz grunty spoiste w stanie nie gorszym od twardoplastycznego są nośne. W przypadku gruntów spoistych ich nośność zachowana zostaje pod warunkiem nienaruszenia struktury i niezawilgocenia oraz przy uwzględnieniu parametrów podanych w tabeli nr 1. Do gruntów słabonośnych zakwalifikowano grunty spoiste w stanie plastycznym (warstwy: IIc, IIIc, VIc1 i VIc2) oraz przypowierzchniową warstwę nasypów niebudowlanych (warstwa XI) które zalegają maksymalnie do głębokości 1,0-1,2 m p.p.t.
3. W 5 wykonanych otworach wiertniczych, do głębokości maks. 10,0 m p.p.t., nie stwierdzono występowania wody gruntowej. Grunty piaszczyste, występujące

bezpośrednio pod gruntami spoistymi w strefie głębokości 4-5 m p.p.t. mogą być lokalnie silnie wilgotne, miejscami na granicy mokrych, jednak wraz ze wzrostem głębokości ich wilgotność będzie malała.

4. Mając na uwadze, że głębokość posadowienia projektowanego budynku, posiadającego 1 kondygnację podziemną, sięgnie ok. 3,5 m p.p.t. zaleca się posadowić projektowany budynek bezpośrednio, na płycie, a występujące poniżej poziomu posadowienia spoiste grunty słabonośne wymienić częściowo - do głębokości ok. 0,5 m poniżej planowanego dna wykopu, na zagęszczony warstwami mineralny grunt sypki - piasek lub drobną pospółkę. Występujące w głębszym podłożu soczewki i przewarstwienia gruntów słabonośnych należy uwzględnić w obliczeniach statycznych obiektu.
5. W świetle „Rozporządzenia Ministra Transportu, Budownictwa i Gospodarki Morskiej z dn. 25.04.2012 r. w sprawie ustalanie geotechnicznych warunków posadawiania obiektów budowlanych”, występujące w podłożu projektowanego na działce nr 21/257 budynku laboratorium Aerodynamiki Środowiskowej Wydziału Inżynierii Lądowej Politechniki Krakowskiej warunki gruntowe, z uwagi na dominację w jego podłożu gruntów nośnych, przy braku wody gruntowej, należy przyjąć jako proste. Projektowany budynek proponuje się zakwalifikować do drugiej kategorii geotechnicznej w prostych warunkach gruntowych. Ostateczna decyzję o kategorii geotechnicznej obiektu, zgodnie z ww. "Rozporządzeniem...", należy do Projektanta.
6. W czasie wykonywania prac ziemnych należy przestrzegać wytycznych ochrony podłoża gruntowego zawartych w poz. 2.4. PN - 81/B-03020 nie dopuszczając do naruszenia jego struktury, nadmiernego nawilgocenia lub przemarznięcia.

Łódź, sierpień 2017 r.

WARTOŚCI CHARAKTERYSTYCZNE PARAMETRÓW GEOTECHNICZNYCH

Temat: OPINIA GEOTECHNICZNA WRAZ Z DOKUMENTACJĄ BADAŃ PODŁOŻA GRUNTOWEGO BUDYNKU LABORATORIUM AERODYNAMIKI ŚRODOWISKOWEJ WYDZIAŁU INŻYNIERII LĄDOWEJ POLITECHNIKI KRAKOWSKIEJ, PROJEKTOWANEGO NA DZIAŁCE NR 21/257 PRZY AL. JANA PAWŁA II 37 W KRAKOWIE

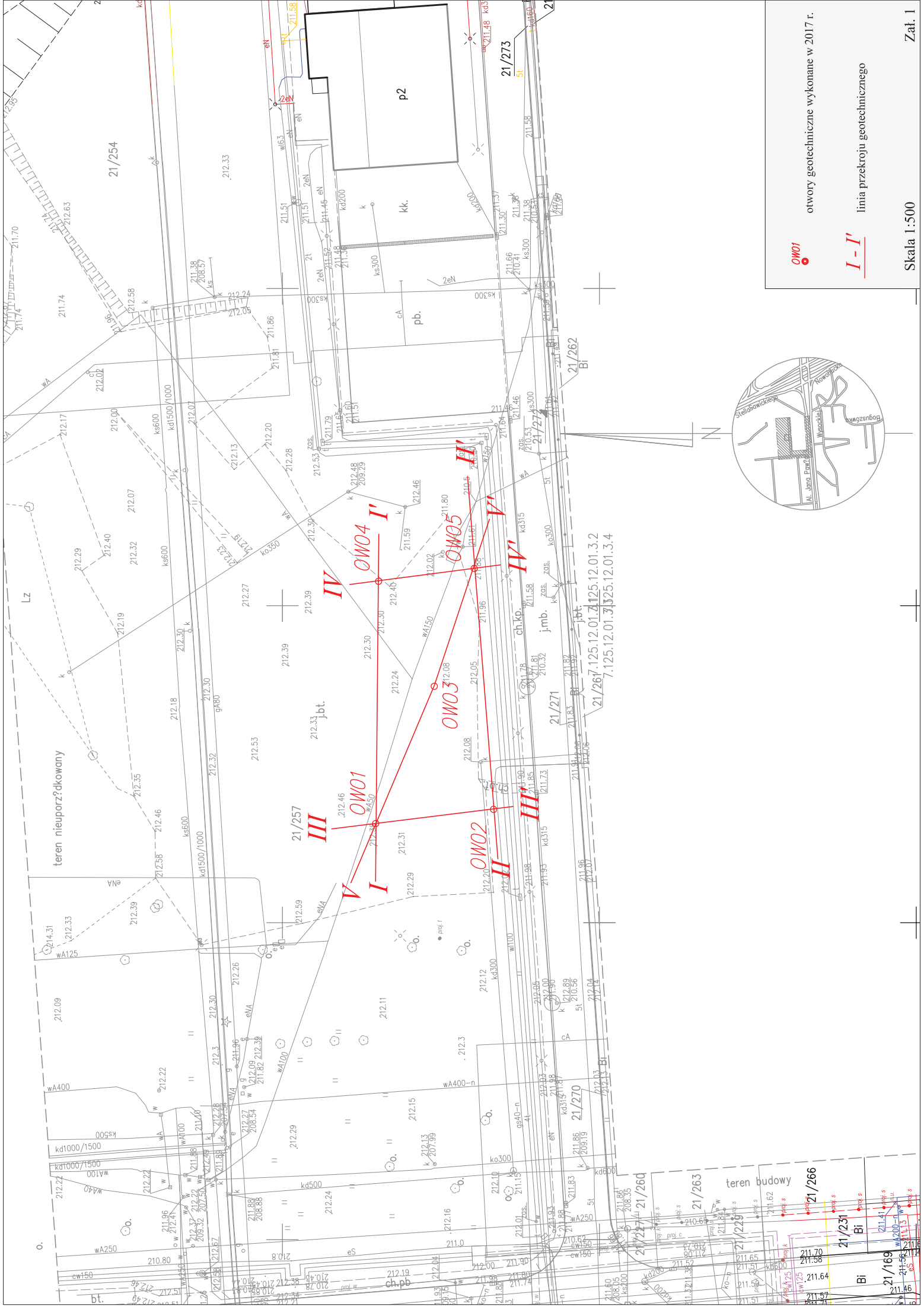
Lp.	Jednostka stratygraficzno-facjalna	Nr warstwy geotechn.	Rodzaj gruntu	Cecha wiodąca		Wilgotność naturalna	Gęstość objętościowa	Kąt tarcia wewnętrzzn.	Spójność.	Moduł odkształcenia pierwotnego	Moduł ścisłości pierwotnej	Wskaźnik skonsolidowania
				stopień zagęszcz.	stopień plastyczn.							
				I_p	I_L	w_n (%)	ρ ($t \cdot m^{-3}$)	Φ_u	C (kPa)	E_o (MPa)	M_0 (MPa)	β
1.	<i>Qpfg</i>	Ia	Pd+Ps; P π (+Ps)/Pg; P π +Pd; P π (+Pd); Ps(+I/II)	0,50	-	mw 6	1,65	30,9	-	46,2	61,9	0,80
						w 16	1,75					
2.	<i>Qpfg</i>	Ib	Ps; Ps/Pd; Ps(+II);Ps+Pd; Ps//G π ; Ps+II/P π ; Ps//Pg	0,50	-	mw 5	1,70	33,0	-	79,9	94,7	0,90
						w 14	1,85					
3.	<i>Qpfg</i>	Ig	P π +Ps//Gp; P π (+Ps)	0,60	-	mw 6	1,65	30,9	-	55,4	74,4	0,80
4.	<i>Qpfg</i>	Ih	Ps; Ps/Pd	0,60	-	mw 5	1,70	33,6	-	94,6	112,3	0,90
						w 14	1,85					
5.	<i>Qpg</i>	IIb	Pg/Gp	-	0,20	16	2,10	14,8	17,0	20,6	29,4	0,60
6.	<i>Qpg</i>	IIc	Pg/Gp	-	0,30	16	2,10	13,2	13,3	16,5	23,6	0,60
7.	<i>Qpg</i>	IIIc	Gp; Gp//G π //P; Gp//P	-	0,30	17	2,10	13,2	13,3	16,5	23,6	0,60
8.	<i>Qpgl</i>	Vb	IIp/P π (+Pd); IIp	-	0,20	18	2,10	14,8	17,0	20,6	29,4	0,60

9.	Q_{pgl}	VIb	$G\pi$	-	0,20	20	2,10	14,8	17,0	20,6	29,4	0,60
10.	Q_{pgl}	VIc1	$G\pi//P$	-	0,30	25	2,00	13,2	13,3	16,5	23,6	0,60
11.	Q_{pgl}	VIc2	$G\pi, G\pi Z$	-	0,40	25	2,00	11,6	10,6	13,4	19,2	0,60
12.	Q_h	XI	nN	Nasyp niekontrolowany, niebudowlany – grunt słabonośny								
13.	Q_h	XII	nB	0,60	-	6	1,65	30,9	-	55,4	74,4	0,80

Wartości obliczeniowe $x^{(r)}$ przyjąć: $x^{(r)} = x^{(n)} \cdot (1 \pm 0,10)$

opracował: mgr Krzysztof Nazdrowicz - upr. geolog. nr VII – 1621, nr V-1186

07.08.2017



OW01

otwory geotechniczne wykonane w 2017 r.

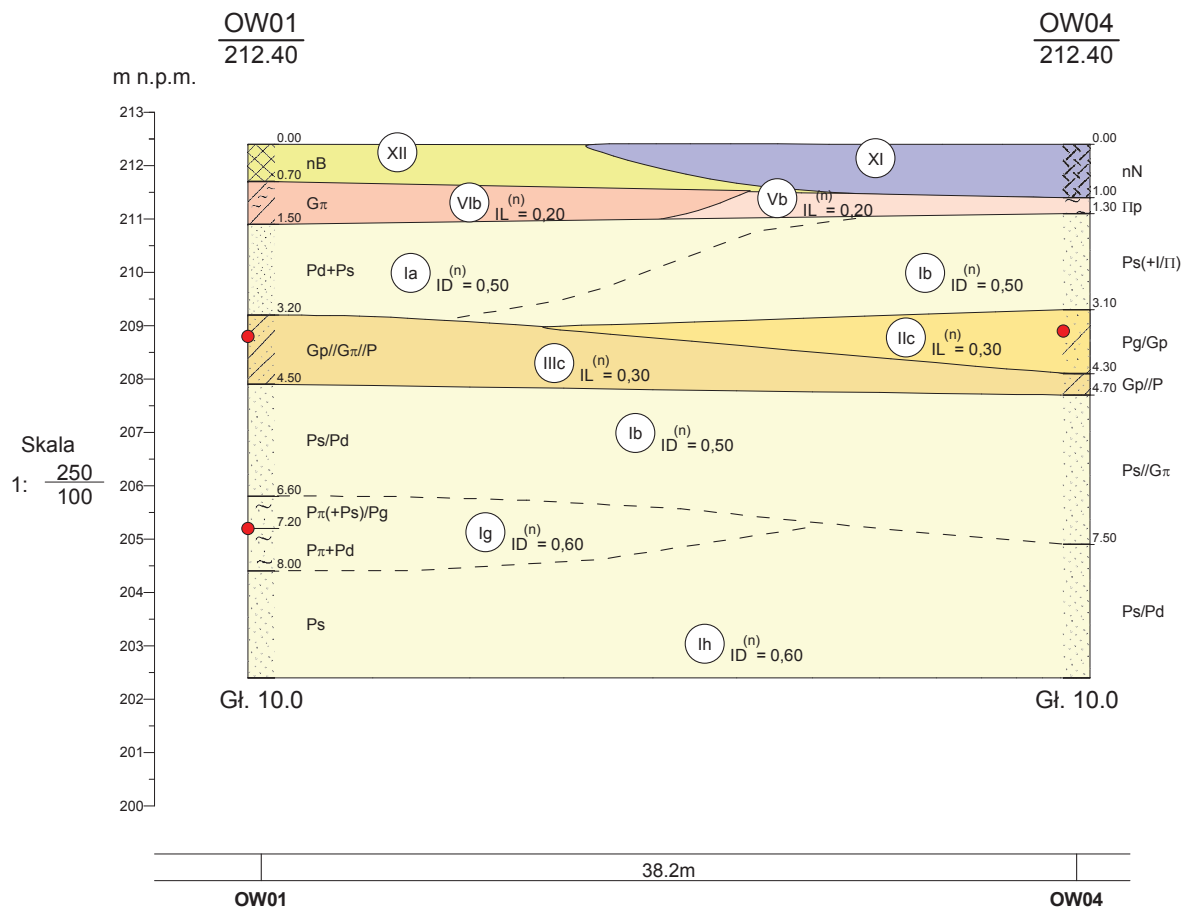
I - I'

linia przekroju geotechnicznego

Skala 1:500

Zał. 1

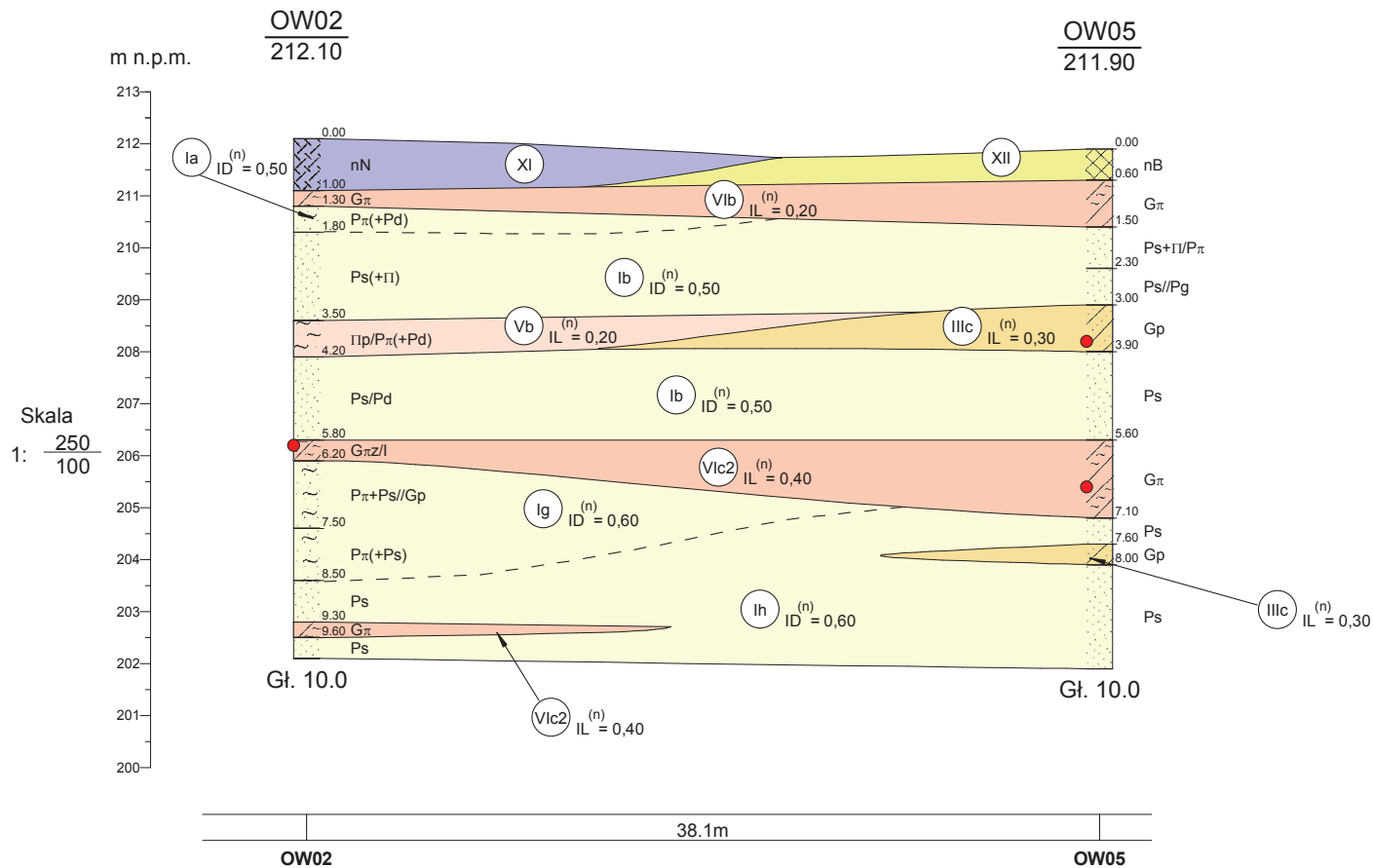
I - I'



- nasyp niekontrolowany
- nasyp budowlany
- głina piaszczysta
- głina pylasta
- piasek drobny
- piasek średni
- piasek pylasty
- piasek gliniasty
- pył piaszczysty

GEO SONTA <small>PRACOWNIA GEOTECHNICZNA</small>		Adres Pracowni: ul. Nowa 29/31 lok. 33 90-030 Łódź		tel./fax: 0-42 674 23 49 www.geosonta.pl		Załącznik Nr 2.1	
działka ewid. nr 21/257 Al. Jana Pawła II, Kraków				Opinia geotechniczna z dokumentacją badań podłoża gruntowego budynku Laboratorium Aerodynamiki Środowiskowej PK projektowanego przy Al. Jana Pawła II w Krakowie			
	Data	Nazwisko	Podpis	Przekrój geotechniczny			Skala 1: 250/100
Opracował	02.08.2017	mgr A. S. Szcześniak					
Weryfikował	02.08.2017	mgr K. Nazdrowicz					

II - II'

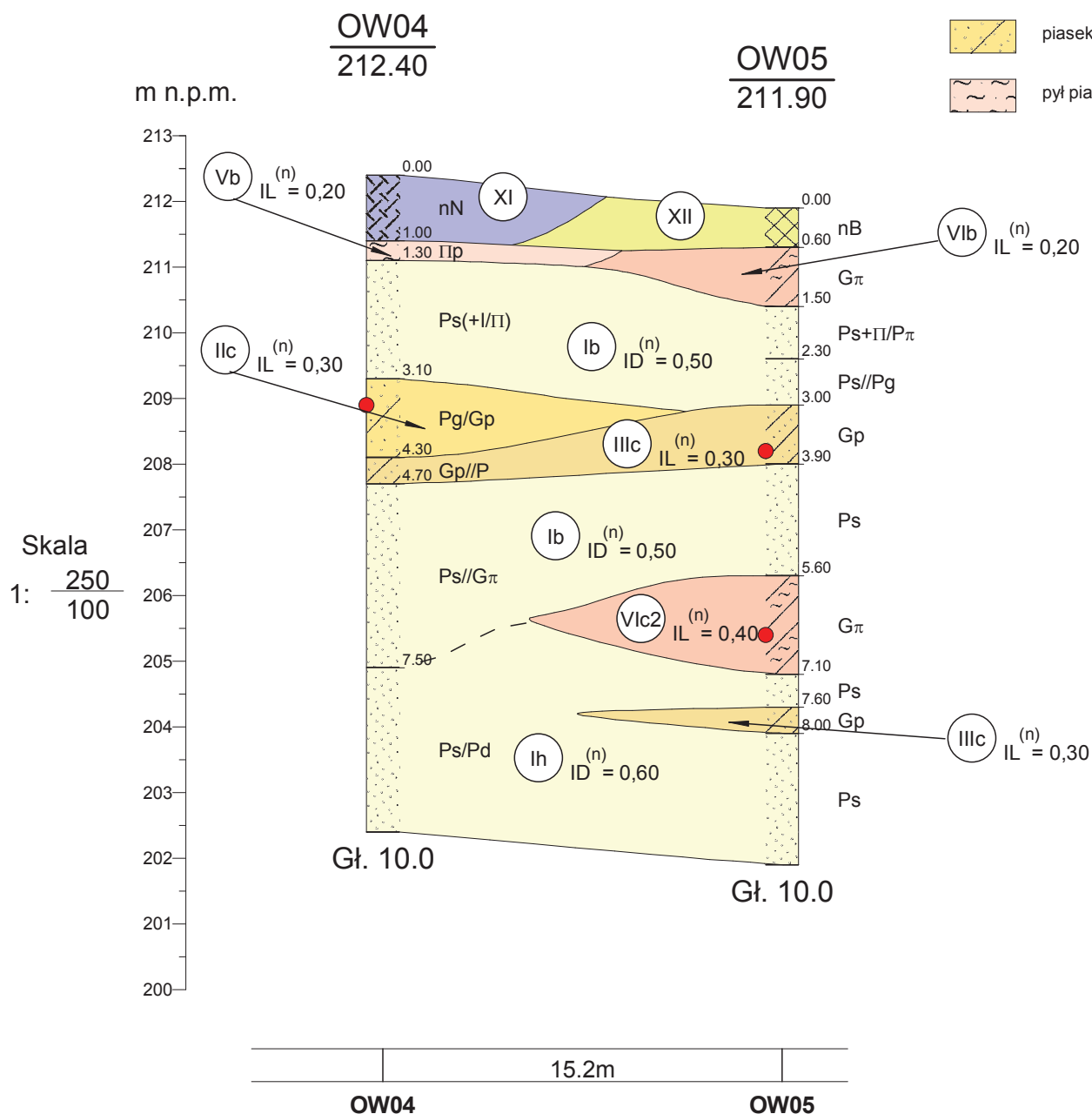


- nasyp niekontrolowany
- nasyp budowlany
- gлина piaszczysta
- gлина pylasta
- gлина pylasta zwiezla
- piasek sredni
- piasek pylasty
- pyl piaszczysty

GEO SONTA Adres Pracowni: ul. Nowa 29/31 lok. 33 90-030 Łódź tel./fax: 0-42 674 23 49 www.geosonda.pl				Zał. Nr 2.2
działka ewid. nr 21/257 Al. Jana Pawła II, Kraków				Opinia geotechniczna z dokumentacją badań podłoża gruntowego budynku Laboratorium Aerodynamiki Środowiskowej PK projektowanego przy Al. Jana Pawła II w Krakowie
	Data	Nazwisko	Podpis	Przekrój geotechniczny
Opracował	02.08.2017	mgr A. S. Szcześniak		
Weryfikował	02.08.2017	mgr K. Nazdrowicz		
				Skala 1: 250/100

IV - IV'

-  nasyp niekontrolowany
-  nasyp budowlany
-  glina piaszczysta
-  glina pylasta
-  piasek średni
-  piasek gliniasty
-  pył piaszczysty



GEO SONTA PRACOWNIA GEOLOGICZNA	Adres Pracowni: ul. Nowa 29/31 lok. 33 90-030 Łódź	tel./fax: 0-42 674 23 49 www.geosonda.pl
---	--	---

Zał.Nr
2.4

działka ewid. nr 21/257
Al. Jana Pawła II, Kraków

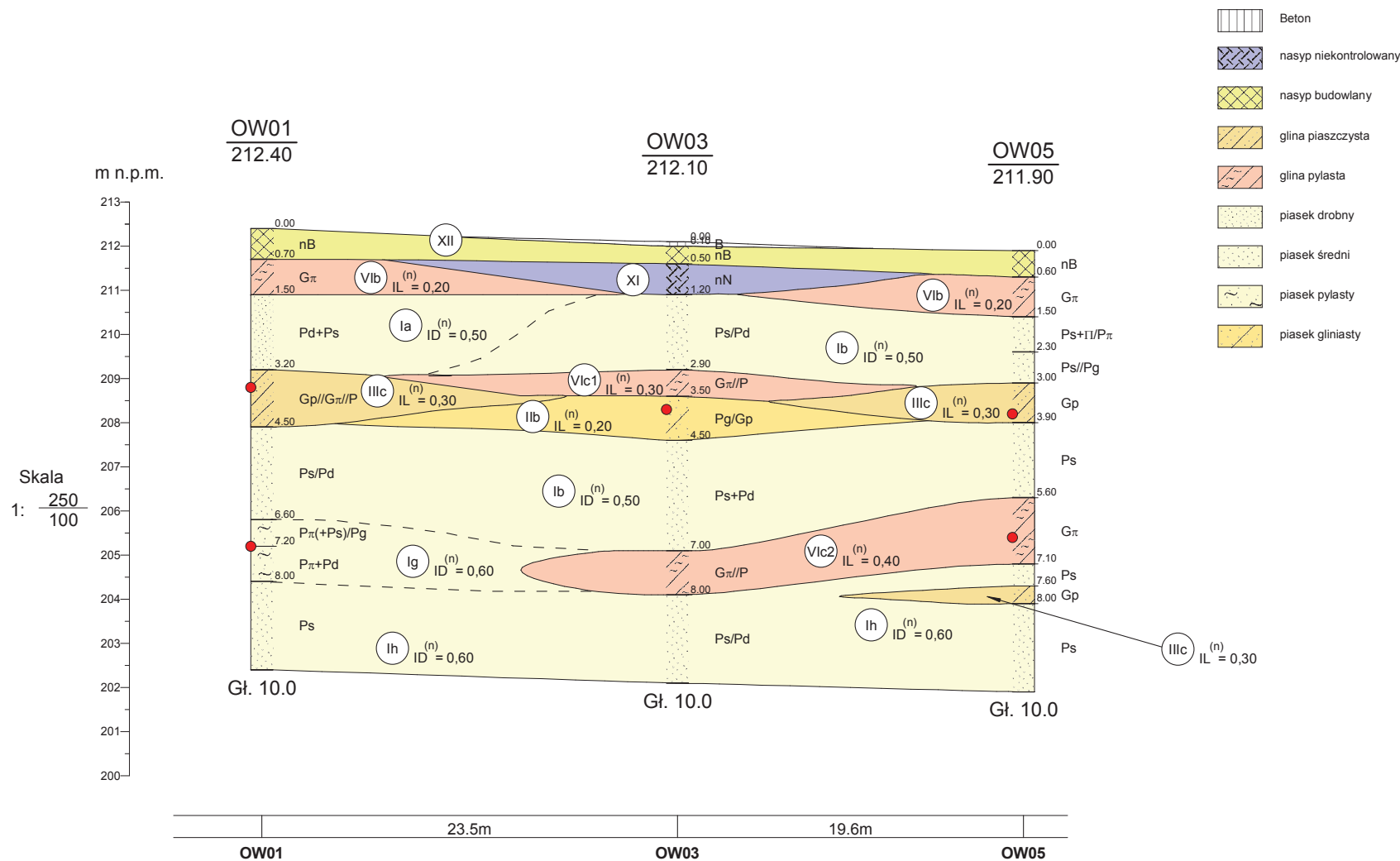
Opinia geotechniczna z dokumentacją badań podłoża gruntowego
budynku Laboratorium Aerodynamiki Środowiskowej PK
projektowanego przy Al. Jana Pawła II w Krakowie

	Data	Nazwisko	Podpis
Opracował	02.08.2017	mgr A. S. Szcześniak	
Weryfikował	02.08.2017	mgr K. Nazdrowicz	

Przekrój geotechniczny

Skala
1: $\frac{250}{100}$

V - V'



GEO SOND <small>PRACOWNIA GEOTECHNICZNA</small>		Adres Pracowni: ul. Nowa 29/31 lok. 33 90-030 Łódź		tel./fax: 0-42 674 23 49 www.geosonda.pl		Załącznik Nr 2.5	
działka ewid. nr 21/257 Al. Jana Pawła II, Kraków				Opinia geotechniczna z dokumentacją badań podłoża gruntowego budynku Laboratorium Aerodynamiki Środowiskowej PK projektowanego przy Al. Jana Pawła II w Krakowie			
	Data	Nazwisko	Podpis	Przekrój geotechniczny			Skala 1: 250 100
Opracował	02.08.2017	mgr A. S. Szcześniak					
Weryfikował	02.08.2017	mgr K. Nazdrowicz					

Rejon: Al. Jana Pawła II 37

Miejscowość: Kraków

Województwo: małopolskie

Objekt: budynek laboratorium

Zleceńodawca: GPVT Pracownia Architektoniczna

Wiercenie: GEO-SONDA Pracownia Geologiczna s.c.

Nadzór geologiczny: mgr K. Nazdrowicz

System wiercenia: Mechaniczno-obrotowy

Rzędna: 212.40 m n.p.m. Głębokość: 10.00 m

Skala 1 : 100

Data wiercenia: 27-07-2017

Wiercenie	Głębokość zwiardła wody	Stratygrafia	Profil litologiczny		Przelot	Opis litologiczny	Symbol gruntu	Warstwa geotechniczna	Wilgotność	Stan gruntu
			[m]							
1	2	3	4	5	6	7	8	9	10	11
		Nasyp				nasyp budowlany (P+tłuczeń)	nB	XII		
		Czwartorzęd Pleistocen	1.0		0.70	głina pylasta jasnobrązowa	G _π	VIb	mw	tpl
			2.0		1.50	piasek drobny jasnobrązowy-żółty z domieszką piasku średniego	Pd+Ps	Ia	mw/w	szg
			3.0							
			4.0		3.20	głina piaszczysta jasnoszara przewarstwiona gliną pylastą przewarstwiona piaskiem	Gp//G _π //P	IIIc	w	pl
			5.0		4.50	piasek średni jasnoszary na pograniczu piasku drobnego	Ps/Pd	Ib	mw	szg
			6.0							
			7.0		6.60	piasek pylasty szary z niewielką domieszką piasku średniego na pograniczu piasku gliniastego	P _π (+Ps)/Pg	Ig	w	szg
			8.0		7.20	piasek pylasty jasnoszary z domieszką piasku drobnego	P _π +Pd	Ig	mw/w	szg
			9.0		8.00	piasek średni jasnoszary	Ps	Ih	mw/w	szg
			10.0		10.00					

Rejon: Al. Jana Pawła II 37

Miejscowość: Kraków

Województwo: małopolskie

Obiekt: budynek laboratorium

Zlecniodawca: GPVT Pracownia Architektoniczna

Wiercenie: GEO-SONDA Pracownia Geologiczna s.c.

Nadzór geologiczny: mgr K. Nazdrowicz

System wiercenia: Mechaniczno-obrotowy

Rzędna: 212.10 m n.p.m. Głębokość: 10.00 m

Skala 1 : 100

Data wiercenia: 27-07-2017

Wiercenie	Głębokość zwierciadła wody	Stratygrafia	Profil litologiczny		Przelot	Opis litologiczny	Symbol gruntu	Warstwa geotechniczna	Wilgotność	Stan gruntu
			[m]							
1	2	3	4	5	6	7	8	9	10	11
		Nasypy				nasyp niekontrolowany (P+łuczeń+H+G)	nN	XI		
		Nasyp								
			1.0		1.00	glina pylasta jasnobrązowa	G π	VIb	mw	tpl
					1.30	piasek pylasty jasnobrązowy z niewielką domieszką	P π (+Pd)	Ia	mw	szg
						piasku drobnego				
			2.0		1.80	piasek średni jasnobrązowo-szary z niewielką	P s (+II)	Ib	mw	szg
						domieszką pyłu				
			3.0							
			4.0		3.50	pył piaszczysty jasnoszary na pograniczu piasku	IIp/P π (+Pd)	Vb	mw/w	tpl
						pylastego z niewielką domieszką piasku drobnego				
			5.0		4.20	piasek średni jasnoszary na pograniczu piasku	P s /Pd	Ib	mw/w	szg
						drobnego				
			6.0		5.80	glina pylasta zwięzła na pograniczu ilu,	G π Z/I	VIc2	w	pl
						jasnoszara				
			7.0		6.20	piasek pylasty jasnoszary z domieszką piasku	P π +P s //Gp	Ig	mw	szg
						średniego przewarstwiony gliną piaszczystą				
			8.0		7.50	piasek pylasty jasnoszary z niewielką domieszką	P π (+P s)	Ig	mw	szg
						piasku średniego				
			9.0		8.50	piasek średni jasnoszary	P s	Ih	mw	szg
			9.30		9.30	glina pylasta jasnoszara	G π	VIc2	w	pl
			9.60		9.60	piasek średni jasnoszary	P s	Ih	mw	szg
			10.0		10.00					

Rejon: Al. Jana Pawła II 37

Miejscowość: Kraków

Województwo: małopolskie

Obiekt: budynek laboratorium

Zlecniodawca: GPVT Pracownia Architektoniczna

Wiercenie: GEO-SONDA Pracownia Geologiczna s.c.

Nadzór geologiczny: mgr K. Nazdrowicz

System wiercenia: Mechaniczno-obrotowy

Rzędna: 212.10 m n.p.m. Głębokość: 10.00 m

Skala 1 : 100

Data wiercenia: 27-07-2017

Wiercenie	Głębokość zwierciadła wody	Stratygrafia	Profil litologiczny		Przelot	Opis litologiczny	Symbol gruntu	Warstwa geotechniczna	Wilgotność	Stan gruntu
			[m]							
1	2	3	4	5	6	7	8	9	10	11
		Nasyp				Beton	nB	XII		
		Nasyp			0.10	nasyp budowlany (P)				
					0.50	nasyp niekontrolowany (P+H+Nm+ okruchy betonu)	nN	XI		
					1.20	piasek średni brązowy na pograniczu piasku drobnego	Ps/Pd	Ib	mw	szg
					2.90	glina pylasta jasnobrązowa przewarstwiona piaskiem	G _π //P	Vlc1	w	pl
					3.50	piasek gliniasty jasnoszary na pograniczu glin piaszczystej	Pg/Gp	IIb	mw	tpl
					4.50	piasek średni jasnobrązowy z domieszką piasku drobnego	Ps+Pd	Ib	mw/w	szg
					7.00	glina pylasta jasnoszara przewarstwiona piaskiem	G _π //P	Vlc2	w	pl
					8.00	piasek średni jasnoszary przewarstwiony jasnobrązowym na pograniczu piasku drobnego	Ps/Pd	Ih	mw/w	szg
					10.00					

Rejon: Al. Jana Pawła II 37

Miejscowość: Kraków

Województwo: małopolskie

Objekt: budynek laboratorium

Zleciennodawca: GPVT Pracownia Architektoniczna

Wiercenie: GEO-SONDA Pracownia Geologiczna s.c.

Nadzór geologiczny: mgr K. Nazdrowicz

System wiercenia: Mechaniczno-obrotowy

Rzędna: 212.40 m n.p.m. Głębokość: 10.00 m

Skala 1 : 100

Data wiercenia: 27-07-2017

Wiercenie	Głębokość zwierciadła wody	Stratygrafia	Profil litologiczny		Przelot	Opis litologiczny	Symbol gruntu	Warstwa geotechniczna	Wilgotność	Stan gruntu
			[m]							
1	2	3	4	5	6	7	8	9	10	11
		Nasypy				nasyp niekontrolowany (P+H+okruchy gruzu)	nN	XI		
		Nasyp								
			1.0		1.00	pył piaszczysty jasnobrązowy	IIp	Vb	mw	tpl
					1.30	piasek średni brązowo-żółty z niewielką domieszką iłu na pograniczu pyłu	Ps(+I/II)	Ib	mw	szg
			2.0							
			3.0		3.10	piasek gliniasty jasnoszary na pograniczu gliny piaszczystej	Pg/Gp	IIc	mw	szg
			4.0							
					4.30	glina piaszczysta jasnoszara przewarstwiona piaskiem	Gp//P	IIIc	w	pl
			5.0		4.70	piasek średni jasnoszary przewarstwiony gliną pylastą				
			6.0				Ps//G π	Ib	w/m	szg
			7.0							
			8.0		7.50	piasek średni jasnoszary na pograniczu piasku drobnego	Ps/Pd	Ih	w	szg
			9.0							
			10.0		10.00					

Rejon: Al. Jana Pawła II 37

Miejscowość: Kraków

Województwo: małopolskie

Objekt: budynek laboratorium

Zlecniodawca: GPVT Pracownia Architektoniczna

Wiercenie: GEO-SONDA Pracownia Geologiczna s.c.



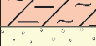







Nadzór geologiczny: mgr K. Nazdrowicz

System wiercenia: Mechaniczno-obrotowy

Rzędna: 211.90 m n.p.m. Głębokość: 10.00 m

Skala 1 : 100

Data wiercenia: 27-07-2017

Wiercenie	Głębokość zwierciadła wody	Stratygrafia	Profil litologiczny		Przelot	Opis litologiczny	Symbol gruntu	Warstwa geotechniczna	Wilgotność	Stan gruntu
			[m]							
1	2	3	4	5	6	7	8	9	10	11
		Czwartorzęd Pleistocen				nasyp budowlany (tłuczeń+P)	nB	XII		
					0.60	glina pylasta brązowa	G π	VIb	mw	tpl
			1.0							
					1.50	piasek średni jasnobrązowy z domieszką pyłu na pograniczu piasku pylastego	Ps+II/P π	Ib	mw	szg
			2.0							
					2.30	piasek średni jasnobrązowy przewarstwiony piaskiem gliniastym	Ps//Pg	Ib	mw/w	szg
			3.0							
					3.00	glina piaszczysta jasnoszara	Gp	IIIc	mw	pl
			4.0							
					3.90	piasek średni jasnoszary	Ps	Ib	w	szg
			5.0							
					5.60	glina pylasta jasnoszara przechodząca w szaro-rdzawą	G π	VIc2	w	pl
			6.0							
					7.10	piasek średni jasnoszary	Ps	Ih	mw	szg
			7.0							
					7.60	glina piaszczysta jasnobrązowa	Gp	IIIc	w	pl
			8.0							
					8.00	piasek średni jasnobrązowy przechodzący w jasnoszary przechodzący w jasnobrązowy	Ps	Ih	mw	szg
			9.0							
			10.0							
					10.00					

Zbiornicze zestawienie wyników badań laboratoryjnych gruntów

Temat: Dokumentacja badań podłoża gruntowego
Lokalizacja: Kraków, al. Jana Pawła II 37
Obiekt: Budynek laboratorium

Grunty spoiste

Lp.	Nr otw.	głębokość	Nazwa gruntu	w_n	w_p	w_L	I_L	I_p
		[m p.p.t.]		%			-	%
1.	OW01	3,60	Gлина piaszczysta	17,07	13,90	26,15	0,26	12,25
2.	OW02	5,90	Gлина pylasta zwięzła	31,06	20,06	49,38	0,38	29,32
3.	OW03	3,80	Piasek gliniasty	14,22	12,07	21,90	0,22	9,83
4.	OW04	3,50	Piasek gliniasty	14,25	11,74	20,90	0,27	9,16
5.	OW05	3,70	Gлина piaszczysta	16,18	13,02	25,85	0,25	12,83
6.	OW05	6,50	Gлина	21,13	13,87	32,41	0,39	18,54

Grunty sypkie

Lp.	Nr otw.	głębokość	Nazwa gruntu	Frakcje			"k" [m/d]	
		[m p.p.t.]		Ż	P	$\pi+I$	wg t. Beyera	wg USBSC
1.	OW02	6,80	Piasek pylasty	0,1	87,0	12,9	<0,5	1,94

Badania wykonał: mgr A. Sztendel-Szcześniak

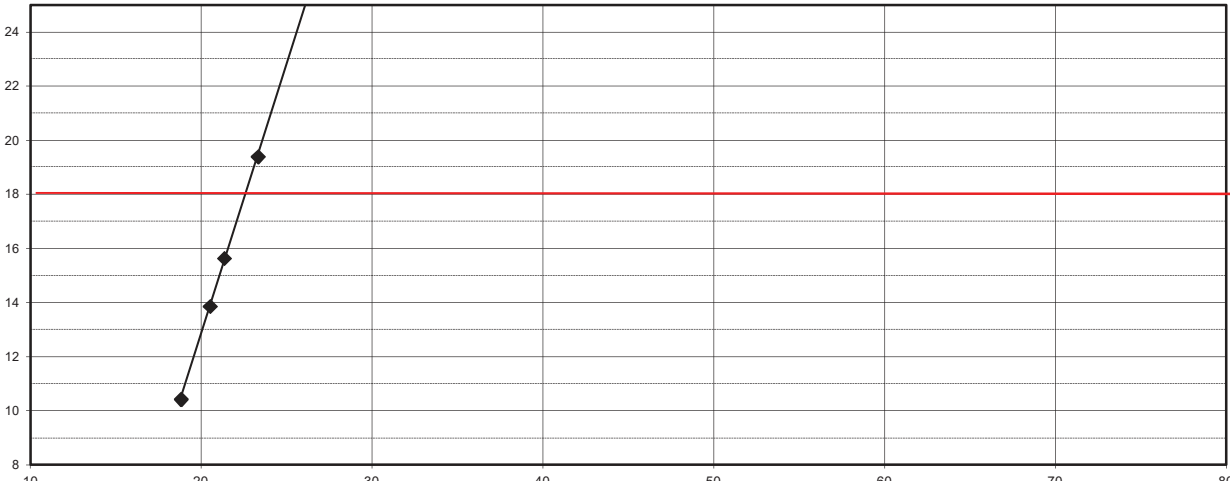
01.08.2017

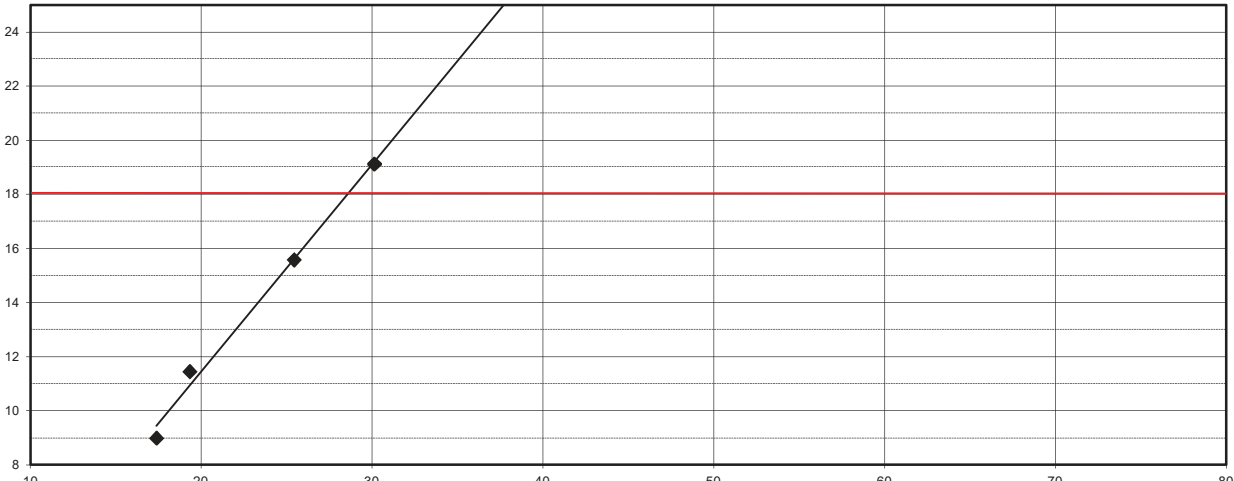
Badanie granic konsystencji										Zał. 4.2.1	
Obiekt: Budynek laboratorium										Nr otworu OW01	
Nazwa gruntu: Głina piaszczysta										Głębokość 3,60	
Wyniki					Wilgotność naturalna						
W _n = 17,07 W _p = 13,90 W _L = 26,15					Nr par.		m _{mt}	50,72	m _{st}	47,03	
I _L =(W _n -W _p):(W _L -W _p)= 0,26					48		m _{st}	47,03	m _t	25,3	
I _p =W _L -W _p = 12,25							W _n =	3,69	:	21,73	16,98%
stan: pl					Nr par.		m _{mt}	53,95	m _{st}	50,27	
spoistość: średnio spoisty					85		m _{st}	50,27	m _t	28,83	
							W _n =	3,68	:	21,44	17,16%
Granica plastyczności											
Nacz. Nr 64				m _{mt}	29,17	m _{st}	28,76				
				m _{st}	28,76	m _t	25,92				
				W _p =	0,41	:	2,84	14,44%			
Nacz. Nr 75				m _{mt}	31,45	m _{st}	31,06				
				m _{st}	31,06	m _t	28,14				
				W _p =	0,39	:	2,92	13,36%			
Granica płynności											
Nacz.Nr 18				m _{mt}	70,96	m _{st}	64,24				
h ₁	8,51	h _{sr}	8,71 mm	m _{st}	64,24	m _t	28,49				
h ₂	8,91			W=	6,72	:	35,75	18,80 %			
Nacz.Nr 34				m _{mt}	66,53	m _{st}	59,84				
h ₁	12,18	h _{sr}	12,03 mm	m _{st}	59,84	m _t	26,83				
h ₂	11,88			W=	6,69	:	33,01	20,27 %			
Nacz.Nr 88				m _{mt}	75	m _{st}	67,61				
h ₁	15,39	h _{sr}	15,45 mm	m _{st}	67,61	m _t	33,54				
h ₂	15,51			W=	7,39	:	34,07	21,69 %			
Nacz.Nr 81				m _{mt}	71,88	m _{st}	63,74				
h ₁	18,57	h _{sr}	18,77 mm	m _{st}	63,74	m _t	28,69				
h ₂	18,96			W=	8,14	:	35,05	23,22 %			
<div></div> <div>w₁₈= 22,9 w_L= 26,15</div>											
Badanie wykonał: mgr A. Sztendel-Szcześniak											
Data: 01.08.2017											

Badanie granic konsystencji										Załącz. 4.2.2																						
Obiekt: Budynek laboratorium Nazwa gruntu: Gлина pylasta zwięzła								Nr otworu OW02 Głębokość 5,90																								
Wyniki					Wilgotność naturalna																											
$W_n = 31,06$ $W_p = 20,06$ $W_L = 49,38$ $I_L = (W_n - W_p) : (W_L - W_p) = 0,38$ $I_p = W_L - W_p = 29,32$ stan: pl spoistość: zwięzła spoisty					<table border="0" style="width: 100%;"> <tr> <td style="width: 10%;">Nr par.</td> <td style="width: 10%;">m_{mt}</td> <td style="width: 10%;">42,94</td> <td style="width: 10%;">m_{st}</td> <td style="width: 10%;">38,62</td> <td colspan="2"></td> </tr> <tr> <td rowspan="3" style="text-align: center; vertical-align: middle;">15</td> <td>m_{st}</td> <td>38,62</td> <td>m_t</td> <td>24,59</td> <td colspan="2"></td> </tr> <tr> <td>$W_n =$</td> <td>4,32</td> <td>:</td> <td>14,03</td> <td colspan="2" style="text-align: right;">30,79%</td> </tr> </table>					Nr par.	m_{mt}	42,94	m_{st}	38,62			15	m_{st}	38,62	m_t	24,59			$W_n =$	4,32	:	14,03	30,79%				
Nr par.	m_{mt}	42,94	m_{st}	38,62																												
15	m_{st}	38,62	m_t	24,59																												
	$W_n =$	4,32	:	14,03	30,79%																											
						<table border="0" style="width: 100%;"> <tr> <td style="width: 10%;">Nr par.</td> <td style="width: 10%;">m_{mt}</td> <td style="width: 10%;">55,44</td> <td style="width: 10%;">m_{st}</td> <td style="width: 10%;">49,99</td> <td colspan="2"></td> </tr> <tr> <td rowspan="3" style="text-align: center; vertical-align: middle;">86</td> <td>m_{st}</td> <td>49,99</td> <td>m_t</td> <td>32,59</td> <td colspan="2"></td> </tr> <tr> <td>$W_n =$</td> <td>5,45</td> <td>:</td> <td>17,4</td> <td colspan="2" style="text-align: right;">31,32%</td> </tr> </table>					Nr par.	m_{mt}	55,44	m_{st}	49,99			86	m_{st}	49,99	m_t	32,59			$W_n =$	5,45	:	17,4	31,32%			
Nr par.	m_{mt}	55,44	m_{st}	49,99																												
86	m_{st}	49,99	m_t	32,59																												
	$W_n =$	5,45	:	17,4	31,32%																											
	Granica plastyczności																															
Nacz. Nr 11					<table border="0" style="width: 100%;"> <tr> <td style="width: 10%;">m_{mt}</td> <td style="width: 10%;">29,43</td> <td style="width: 10%;">m_{st}</td> <td style="width: 10%;">29,08</td> <td colspan="3"></td> </tr> <tr> <td>m_{st}</td> <td>29,08</td> <td>m_t</td> <td>27,33</td> <td colspan="3"></td> </tr> <tr> <td>$W_p =$</td> <td>0,35</td> <td>:</td> <td>1,75</td> <td colspan="3" style="text-align: right;">20,00%</td> </tr> </table>					m_{mt}	29,43	m_{st}	29,08				m_{st}	29,08	m_t	27,33				$W_p =$	0,35	:	1,75	20,00%				
m_{mt}	29,43	m_{st}	29,08																													
m_{st}	29,08	m_t	27,33																													
$W_p =$	0,35	:	1,75	20,00%																												
Nacz. Nr 72					<table border="0" style="width: 100%;"> <tr> <td style="width: 10%;">m_{mt}</td> <td style="width: 10%;">31,26</td> <td style="width: 10%;">m_{st}</td> <td style="width: 10%;">30,92</td> <td colspan="3"></td> </tr> <tr> <td>m_{st}</td> <td>30,92</td> <td>m_t</td> <td>29,23</td> <td colspan="3"></td> </tr> <tr> <td>$W_p =$</td> <td>0,34</td> <td>:</td> <td>1,69</td> <td colspan="3" style="text-align: right;">20,12%</td> </tr> </table>					m_{mt}	31,26	m_{st}	30,92				m_{st}	30,92	m_t	29,23				$W_p =$	0,34	:	1,69	20,12%				
m_{mt}	31,26	m_{st}	30,92																													
m_{st}	30,92	m_t	29,23																													
$W_p =$	0,34	:	1,69	20,12%																												
Granica płynności																																
Nacz. Nr 42					<table border="0" style="width: 100%;"> <tr> <td style="width: 10%;">m_{mt}</td> <td style="width: 10%;">56,02</td> <td style="width: 10%;">m_{st}</td> <td style="width: 10%;">48,43</td> <td colspan="3"></td> </tr> <tr> <td>h_1</td> <td>9,12</td> <td>h_{sr}</td> <td>9,26 mm</td> <td>m_{st}</td> <td>48,43</td> <td>m_t</td> <td>27,88</td> </tr> <tr> <td>h_2</td> <td>9,4</td> <td></td> <td></td> <td>$W =$</td> <td>7,59</td> <td>:</td> <td>20,55 36,93 %</td> </tr> </table>					m_{mt}	56,02	m_{st}	48,43				h_1	9,12	h_{sr}	9,26 mm	m_{st}	48,43	m_t	27,88	h_2	9,4			$W =$	7,59	:	20,55 36,93 %
m_{mt}	56,02	m_{st}	48,43																													
h_1	9,12	h_{sr}	9,26 mm	m_{st}	48,43	m_t	27,88																									
h_2	9,4			$W =$	7,59	:	20,55 36,93 %																									
Nacz. Nr 26					<table border="0" style="width: 100%;"> <tr> <td style="width: 10%;">m_{mt}</td> <td style="width: 10%;">64,2</td> <td style="width: 10%;">m_{st}</td> <td style="width: 10%;">53,59</td> <td colspan="3"></td> </tr> <tr> <td>h_1</td> <td>12,4</td> <td>h_{sr}</td> <td>12,47 mm</td> <td>m_{st}</td> <td>53,59</td> <td>m_t</td> <td>26,5</td> </tr> <tr> <td>h_2</td> <td>12,54</td> <td></td> <td></td> <td>$W =$</td> <td>10,61</td> <td>:</td> <td>27,09 39,17 %</td> </tr> </table>					m_{mt}	64,2	m_{st}	53,59				h_1	12,4	h_{sr}	12,47 mm	m_{st}	53,59	m_t	26,5	h_2	12,54			$W =$	10,61	:	27,09 39,17 %
m_{mt}	64,2	m_{st}	53,59																													
h_1	12,4	h_{sr}	12,47 mm	m_{st}	53,59	m_t	26,5																									
h_2	12,54			$W =$	10,61	:	27,09 39,17 %																									
Nacz. Nr 65					<table border="0" style="width: 100%;"> <tr> <td style="width: 10%;">m_{mt}</td> <td style="width: 10%;">59,47</td> <td style="width: 10%;">m_{st}</td> <td style="width: 10%;">50,11</td> <td colspan="3"></td> </tr> <tr> <td>h_1</td> <td>16,08</td> <td>h_{sr}</td> <td>16,28 mm</td> <td>m_{st}</td> <td>50,11</td> <td>m_t</td> <td>27,81</td> </tr> <tr> <td>h_2</td> <td>16,47</td> <td></td> <td></td> <td>$W =$</td> <td>9,36</td> <td>:</td> <td>22,3 41,97 %</td> </tr> </table>					m_{mt}	59,47	m_{st}	50,11				h_1	16,08	h_{sr}	16,28 mm	m_{st}	50,11	m_t	27,81	h_2	16,47			$W =$	9,36	:	22,3 41,97 %
m_{mt}	59,47	m_{st}	50,11																													
h_1	16,08	h_{sr}	16,28 mm	m_{st}	50,11	m_t	27,81																									
h_2	16,47			$W =$	9,36	:	22,3 41,97 %																									
Nacz. Nr 29					<table border="0" style="width: 100%;"> <tr> <td style="width: 10%;">m_{mt}</td> <td style="width: 10%;">52,41</td> <td style="width: 10%;">m_{st}</td> <td style="width: 10%;">44,94</td> <td colspan="3"></td> </tr> <tr> <td>h_1</td> <td>20,03</td> <td>h_{sr}</td> <td>19,95 mm</td> <td>m_{st}</td> <td>44,94</td> <td>m_t</td> <td>27,86</td> </tr> <tr> <td>h_2</td> <td>19,86</td> <td></td> <td></td> <td>$W =$</td> <td>7,47</td> <td>:</td> <td>17,08 43,74 %</td> </tr> </table>					m_{mt}	52,41	m_{st}	44,94				h_1	20,03	h_{sr}	19,95 mm	m_{st}	44,94	m_t	27,86	h_2	19,86			$W =$	7,47	:	17,08 43,74 %
m_{mt}	52,41	m_{st}	44,94																													
h_1	20,03	h_{sr}	19,95 mm	m_{st}	44,94	m_t	27,86																									
h_2	19,86			$W =$	7,47	:	17,08 43,74 %																									
$w_{18} = 42,7$					$w_L = 49,38$																											
Badanie wykonał: mgr A. Sztendel-Szcześniak																																
Data: 01.08.2017																																

Badanie granic konsystencji										Zał. 4.2.3	
Obiekt:		Budynek laboratorium						Nr otworu		OW03	
Nazwa gruntu:		Piasek gliniasty						Głębokość		3,80	
Wyniki					Wilgotność naturalna						
W _n = 14,22 W _p = 12,07 W _L = 21,90 I _L =(W _n -W _p):(W _L -W _p)= 0,22 I _p =W _L -W _p = 9,83 stan: tpl spoistość: mało spoisty					Nr par.		m _{mt}	53,34	m _{st}	49,78	
					32		m _{st}	49,78	m _t	24,14	
							W _n =	3,56	:	25,64	13,88%
					Nr par.		m _{mt}	62,30	m _{st}	58,32	
					89		m _{st}	58,32	m _t	30,99	
							W _n =	3,98	:	27,33	14,56%
Granica plastyczności											
Nacz. Nr		67		m _{mt}		30,91		m _{st}		30,45	
				m _{st}		30,45		m _t		26,6	
				W _p =		0,46		:		3,85	
										11,95%	
Nacz. Nr		80		m _{mt}		33,66		m _{st}		33,12	
				m _{st}		33,12		m _t		28,69	
				W _p =		0,54		:		4,43	
										12,19%	
Granica płynności											
Nacz.Nr		30		m _{mt}		65,2		m _{st}		60,16	
h ₁		9,37		h _{sr}		9,315 mm		m _{st}		60,16	
h ₂		9,26				W=		5,04		:	
										34,8	
										14,48 %	
Nacz.Nr		69		m _{mt}		73,24		m _{st}		66,79	
h ₁		12,32		h _{sr}		12,54 mm		m _{st}		66,79	
h ₂		12,76				W=		6,45		:	
										40,26	
										16,02 %	
Nacz.Nr		13		m _{mt}		79,26		m _{st}		71,86	
h ₁		16,28		h _{sr}		16,26 mm		m _{st}		71,86	
h ₂		16,24				W=		7,40		:	
										41,25	
										17,94 %	
Nacz.Nr		56		m _{mt}		75,55		m _{st}		67,73	
h ₁		19,22		h _{sr}		19,28 mm		m _{st}		67,73	
h ₂		19,33				W=		7,82		:	
										39,94	
										19,58 %	
<div></div>											
w ₁₈ = 18,9				w _L = 21,90							
Badanie wykonał: mgr A. Sztendel-Szcześniak											
Data: 01.08.2017											

Badanie granic konsystencji										Zał. 4.2.4													
Obiekt:		Budynek laboratorium						Nr otworu		OW04													
Nazwa gruntu:		Piasek gliniasty						Głębokość		3,50													
Wyniki					Wilgotność naturalna																		
Wn= 14,25 Wp= 11,74 WL= 20,90					Nr par.		m _{mt}		48,77		m _{st}		46,09										
I _L =(Wn-Wp):(W _L -Wp)= 0,27					53		m _{st}		46,09		m _t		27,64										
Ip=W _L -Wp= 9,16							W _n =		2,68		:		18,45 14,53%										
stan: pl					Nr par.		m _{mt}		47,23		m _{st}		44,40										
spoistość: mało spoisty					27		m _{st}		44,40		m _t		24,16										
							W _n =		2,83		:		20,24 13,98%										
Granica plastyczności																							
Nacz. Nr		97		m _{mt}		38,61		m _{st}		38,18													
				m _{st}		38,18		m _t		34,57													
				Wp=		0,43		:		3,61		11,91%											
Nacz. Nr		28		m _{mt}		31,74		m _{st}		31,24													
				m _{st}		31,24		m _t		26,92													
				Wp=		0,5		:		4,32		11,57%											
Granica płynności																							
Nacz.Nr		71		m _{mt}		73,01		m _{st}		67,54													
h ₁		9,54		h _{sr}		9,545 mm		m _{st}		67,54		m _t		28,03									
h ₂		9,55						W=		5,47		:		39,51 13,84 %									
Nacz.Nr		50		m _{mt}		70,2		m _{st}		64,21													
h ₁		13,15		h _{sr}		13,2 mm		m _{st}		64,21		m _t		25,19									
h ₂		13,24						W=		5,99		:		39,02 15,35 %									
Nacz.Nr		84		m _{mt}		72,96		m _{st}		66,66													
h ₁		15,61		h _{sr}		15,65 mm		m _{st}		66,66		m _t		28,9									
h ₂		15,68						W=		6,30		:		37,76 16,68 %									
Nacz.Nr		91		m _{mt}		82,61		m _{st}		75,18													
h ₁		20,89		h _{sr}		20,79 mm		m _{st}		75,18		m _t		36,87									
h ₂		20,68						W=		7,43		:		38,31 19,39 %									
<div><table><caption>Data points from the liquid limit chart</caption><thead><tr><th>h_{sr} (mm)</th><th>w_L (%)</th></tr></thead><tbody><tr><td>9,54</td><td>9,54</td></tr><tr><td>13,15</td><td>13,15</td></tr><tr><td>15,61</td><td>15,68</td></tr><tr><td>20,89</td><td>20,89</td></tr></tbody></table></div>														h _{sr} (mm)	w _L (%)	9,54	9,54	13,15	13,15	15,61	15,68	20,89	20,89
h _{sr} (mm)	w _L (%)																						
9,54	9,54																						
13,15	13,15																						
15,61	15,68																						
20,89	20,89																						
w ₁₈ = 17,9				w _L = 20,90																			
Badanie wykonał: mgr A. Sztendel-Szcześniak																							
Data: 01.08.2017																							

Badanie granic konsystencji										Zał. 4.2.5	
Obiekt:		Budynek laboratorium						Nr otworu		OW05	
Nazwa gruntu:		Gлина piaszczysta						Głębokość		3,70	
Wyniki					Wilgotność naturalna						
W _n = 16,18 W _p = 13,02 W _L = 25,85					Nr par.	m _{mt}	49,64	m _{st}	46,12		
I _L =(W _n -W _p):(W _L -W _p)= 0,25					37	m _{st}	46,12	m _t	24,41		
I _p =W _L -W _p = 12,83						W _n =	3,52	:	21,71	16,21%	
stan: tpl					Nr par.	m _{mt}	56,14	m _{st}	51,93		
spoistość: średnio spoisty					31	m _{st}	51,93	m _t	25,87		
						W _n =	4,21	:	26,06	16,16%	
Granica plastyczności											
Nacz. Nr		99		m _{mt}	41,12	m _{st}	40,53				
				m _{st}	40,53	m _t	36,15				
				W _p =	0,59	:	4,38	13,47%			
Nacz. Nr		39		m _{mt}	30,81	m _{st}	30,32				
				m _{st}	30,32	m _t	26,42				
				W _p =	0,49	:	3,9	12,56%			
Granica płynności											
Nacz.Nr		14		m _{mt}	70,79	m _{st}	63,98				
h ₁	10,53	h _{sr}	10,43 mm	m _{st}	63,98	m _t	27,77				
h ₂	10,32			W=	6,81	:	36,21	18,81 %			
Nacz.Nr		43		m _{mt}	73,89	m _{st}	65,77				
h ₁	14,05	h _{sr}	13,86 mm	m _{st}	65,77	m _t	26,16				
h ₂	13,67			W=	8,12	:	39,61	20,50 %			
Nacz.Nr		23		m _{mt}	67,83	m _{st}	61,02				
h ₁	15,72	h _{sr}	15,64 mm	m _{st}	61,02	m _t	29,1				
h ₂	15,55			W=	6,81	:	31,92	21,33 %			
Nacz.Nr		68		m _{mt}	76,02	m _{st}	67,18				
h ₁	19,58	h _{sr}	19,4 mm	m _{st}	67,18	m _t	29,26				
h ₂	19,21			W=	8,84	:	37,92	23,31 %			
<div></div>											
w ₁₈ = 22,6				w _L = 25,85							
Badanie wykonał: mgr A. Sztendel-Szcześniak											
Data: 01.08.2017											

Badanie granic konsystencji										Zał. 4.2.6					
Obiekt:		Budynek laboratorium						Nr otworu		OW05					
Nazwa gruntu:		Gлина						Głębokość		6,50					
Wyniki					Wilgotność naturalna										
Wn= 21,13 Wp= 13,87 WL= 32,41 IL=(Wn-Wp):(WL-Wp)= 0,39 Ip=WL-Wp= 18,54 stan: pl spoistość: średnio spoisty					Nr par.		mmt		56,85		mst		51,68		
					38		mst		51,68		mt		26,69		
							Wn=		5,17		:		24,99		20,69%
					Nr par.		mmt		58,50		mst		53,99		
					94		mst		53,99		mt		33,08		
Wn=		4,51		:			20,91		21,57%						
Granica plastyczności															
Nacz. Nr		36		mmt		34,27		mst		33,61					
				mst		33,61		mt		29,01					
				Wp=		0,66		:		4,6				14,35%	
Nacz. Nr		95		mmt		39,12		mst		38,6					
				mst		38,6		mt		34,72					
				Wp=		0,52		:		3,88				13,40%	
Granica płynności															
Nacz.Nr		54		mmt		63,37		mst		57,77					
h1		8,85		hsr		9 mm		mst		57,77		mt		25,51	
h2		9,15						W=		5,60		:		32,26 17,36 %	
Nacz.Nr		44		mmt		63,74		mst		57,36					
h1		11,53		hsr		11,46 mm		mst		57,36		mt		24,32	
h2		11,39						W=		6,38		:		33,04 19,31 %	
Nacz.Nr		93		mmt		77,92		mst		69,04					
h1		15,47		hsr		15,59 mm		mst		69,04		mt		34,11	
h2		15,7						W=		8,88		:		34,93 25,42 %	
Nacz.Nr		17		mmt		62,85		mst		54,54					
h1		19,23		hsr		19,13 mm		mst		54,54		mt		26,95	
h2		19,03						W=		8,31		:		27,59 30,12 %	
															
w18= 28,5				wL= 32,41											
Badanie wykonał: mgr A. Sztendel-Szcześniak															
Data: 01.08.2017															

Analiza granulometryczna (sitowa)

Zał. 4.3

Obiekt: Budynek laboratorium
Lokalizacja: Kraków, al. Jana Pawła II 37

Nr otworu: **OW02**

Głębokość pobrania: **6,80**

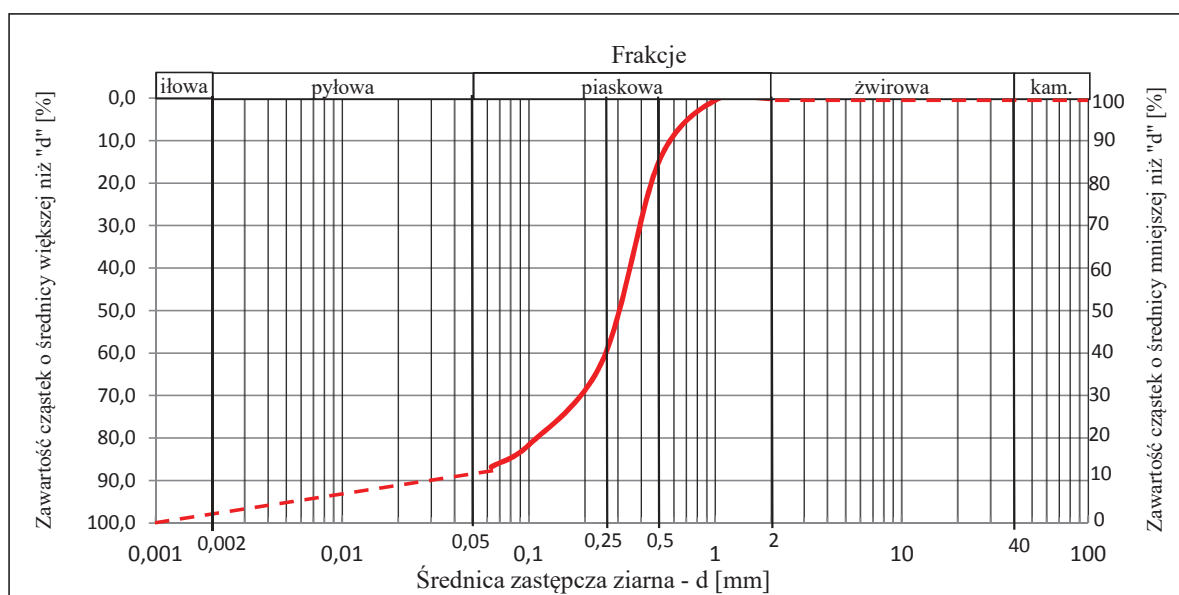
m p.p.m.

	Masa próbki	305,93	
Wielkość ziaren [mm]	Masa pozostałości na sicie	Zawartość frakcji [%]	Suma zawartości frakcji [%]
>2	0,34	0,11	0,1
2 - 1	1,13	0,37	0,5
1 - 0,5	44,31	14,48	15,0
0,5 - 0,25	142,61	46,62	61,6
0,25 - 0,125	61,39	20,07	81,6
0,125 - 0,063	15,78	5,16	86,8
<0,063	39,57	12,93	99,7
suma	305,13		

Charakterystyka krzywej uziarnienia	
d ₁₀ [mm]	0,03
d ₂₀ [mm]	0,11
d ₃₀ [mm]	0,2
d ₅₀ [mm]	0,31
d ₆₀ [mm]	0,36
U	12,00
C	3,70

Nazwa gruntu: **Piasek pylasty**

Współczynnik wodoprzepuszczalności:		
	m/s	m/d
wg tablic Beyera:	poza zakresem	
wg wzoru USBSC:	2,25E-05	1,9



Badanie wykonał: mgr A. Sztendel-Szcześniak

01.08.2017

Badania wykonano zgodnie z normą PN-B-04481 Grunty budowlane. Badanie próbek gruntu.

Objaśnienia symboli używanych na przekrojach geotechnicznych i w profilach otworów

Grunty nasypowe :

- NN - nasyp niebudowlany
- NB - nasyp budowlany

Grunty organiczne rodzime :

- H - gleba
- Nm - namuł

Grunty mineralne, rodzime nieskaliste :

- KO - otoczaki
- Ż - żwir
- Po (g) - pospółka (gliniasta)
- Pr - piasek gruby
- Ps - piasek średni
- Pd - piasek drobny
- P π - piasek pylasty
- Pg - piasek gliniasty
- Π - pył
- Πp - pył piaszczysty
- G - glina
- Gp (z) - glina piaszczysta (zwięzła)
- G π - glina pylasta

Znaki dodatkowe :

- + - domieszki
- // - przewarstwienia
- / - na pograniczu
- () - określenia uzupełniające

Geneza i stratygrafia :

- Qh - czwartorzęd , holocen
- Qp - czwartorzęd , plejstocen
- fg - utwory fluwioglacjalne (wodnolodowcowe)
- g - utwory glacialne (polodowcowe)
- d - osady deluwialne (stokowe)
- gl - utwory glaciallimniczne (lodowcowo-zastoiskowe)

Oznaczenia stanu gruntu :

Grunty niespoiste (sympkie) :

- $I_p = 0,50$ - wartość stopnia zagęszczenia
- ln - luźny
- szg - średnio zagęszczony
- zg - zagęszczony




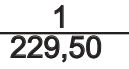
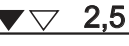
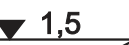



Grunty spoiste :

- $I_L = 0,15$ - wartość stopnia plastyczności
- pł - płynny
- mpl - miękkoplastyczny
- pl - plastyczny
- tpl - twardoplastyczny
- pzw - półzwarty
- zw - zwarty

Oznaczenia wilgotności gruntu :

- mw. - mało wilgotny
- w. - wilgotny
- m. - mokry
- nw. - nawodniony

Inne oznaczenia :

-  - granice litologiczne
-  - granice warstw geotechnicznych
- Ila** - numer warstwy geotechnicznej
-  - próba gruntu o natur. Uziarnieniu
-  - numer otworu
- rzędna otworu w m n.p.m.
-  - swobodne zwierciadło wody gruntowej w m p.p.t.
-  - zwierciadło wody ustalone
-  - zwierciadło wody nawiercone
-  - poziom sączenia
-  - poziom zwierciadła wód gruntowych